

## RELATÓRIO DO PROJETO FINAL - TRILHA FPGA

### CONVOLUÇÃO 2D EM FPGA

Carlos Daniel  
Manoel Ivisson  
Tallys Cesar

#### RESUMO

Este projeto implementa um motor de convolução 2D de alto desempenho em FPGA para processamento de imagens em escala de cinza de 8 bits. O sistema utiliza uma arquitetura de streaming com buffers de linha, permitindo o processamento eficiente de kernels  $3 \times 3$  configuráveis para aplicações como detecção de bordas (Sobel, Laplacian), suavização (blur Gaussiano) e realce de nitidez. A implementação processa um pixel por ciclo de clock após o preenchimento do pipeline, alcançando throughput de até 100 Megapixels/segundo em clock de 100 MHz. Os resultados demonstram a viabilidade da solução para processamento de imagem em tempo real com baixa latência ( $\sim 5\text{-}7$  ciclos) e uso otimizado de recursos (9 DSPs, 2 BRAMs). O projeto foi validado através de simulações utilizando imagens reais, com resultados visuais comprovando a correta aplicação dos filtros de convolução.

**Palavras-chave:** FPGA. Convolução 2D. Processamento de Imagens. SystemVerilog. Visão Computacional.

#### 1. INTRODUÇÃO

O processamento de imagens digitais é fundamental em diversas áreas da tecnologia moderna, incluindo visão computacional, sistemas embarcados, aplicações médicas, automação industrial e IoT. Uma das operações mais importantes neste contexto é a **convolução 2D**, utilizada para aplicar filtros que realizam detecção de bordas, suavização, realce de nitidez, entre outras transformações essenciais.

FPGAs (Field-Programmable Gate Arrays) apresentam vantagens significativas para implementação de algoritmos de processamento de imagem devido ao seu paralelismo inerente, determinismo temporal e

eficiência energética. Enquanto processadores de propósito geral executam operações sequencialmente, FPGAs podem processar múltiplas operações simultaneamente através de lógica dedicada, alcançando throughput superior com menor latência.

## 1.1 Motivação

Aplicações de tempo real, como sistemas de visão em robótica, processamento de vídeo em drones, inspeção industrial automatizada e dispositivos IoT com capacidade de análise local, demandam soluções de processamento de imagem com baixa latência e alto throughput. Implementações em software, mesmo em GPUs, podem não atender requisitos rigorosos de determinismo e consumo energético.

## 1.2 Objetivos

### Objetivo Geral:

Desenvolver um motor de convolução 2D configurável e de alto desempenho em FPGA capaz de processar imagens em escala de cinza utilizando kernels  $3 \times 3$  parametrizáveis.

### Objetivos Específicos:

- Projetar uma arquitetura de streaming eficiente com buffers de linha para minimizar uso de memória
- Implementar unidade MAC (Multiply-Accumulate) paralela para os 9 coeficientes do kernel
- Criar interface de programação de kernel flexível para diferentes filtros
- Validar o sistema através de simulação com imagens reais
- Demonstrar aplicações práticas: detecção de bordas, suavização e realce

## 1.3 Justificativa

A abordagem escolhida de **arquitetura streaming com line buffers** oferece vantagens importantes:

- Processa imagens de altura arbitrária sem necessidade de armazenar a imagem completa
- Utiliza apenas 2 BRAMs para armazenar duas linhas anteriores
- Permite throughput de 1 pixel por ciclo após preenchimento do pipeline
- Facilita integração em sistemas maiores através de interface de streaming padrão

## 2. FUNDAMENTAÇÃO TEÓRICA

### 2.1 Convolução 2D

A convolução 2D é uma operação matemática que aplica um kernel (matriz de coeficientes) sobre uma imagem, produzindo uma nova imagem transformada. Para cada pixel de saída, a operação é definida como:

$$O(x, y) = \sum_{i=-1}^1 \sum_{j=-1}^1 I(x + i, y + j) \cdot K(i, j)$$

Onde:

- $I(x,y)$  é o pixel de entrada na posição  $(x,y)$
- $K(i,j)$  é o coeficiente do kernel na posição  $(i,j)$
- $O(x,y)$  é o pixel de saída resultante

### 2.2 Kernels de Convolução Comuns

#### Detecção de Bordas - Sobel X:

$$[-1 \ 0 \ 1]$$

$$[-2 \ 0 \ 2]$$

$$[-1 \ 0 \ 1]$$

Detecta bordas verticais calculando o gradiente horizontal.

### **Suavização - Blur Gaussiano:**

[1 2 1]

[2 4 2]

[1 2 1]

Suaviza a imagem através de média ponderada (divisão por 16).

### **Realce - Laplacian:**

[ 0 -1 0]

[-1 4 -1]

[ 0 -1 0]

Detecta bordas em todas as direções através da segunda derivada.

## 2.3 Arquiteturas de Hardware para Convolução

### **Line Buffer Architecture:**

A arquitetura de line buffer é amplamente utilizada em processamento de imagem em hardware por sua eficiência. Ao invés de armazenar toda a imagem em memória, mantém-se apenas as linhas necessárias para formar a janela de convolução (ZHANG; YANG, 2020).

### **MAC Units:**

Unidades de Multiply-Accumulate são blocos fundamentais em DSP (Digital Signal Processing). FPGAs modernas possuem blocos DSP dedicados que implementam a operação  $acc = acc + (A \times B)$  em um único ciclo de clock com alto desempenho energético (XILINX, 2021).

## 2.4 Normalização e Clamping

Após a convolução, o acumulador pode conter valores fora do intervalo válido [0, 255] para pixels de 8 bits. Duas técnicas são aplicadas:

1. **Normalização (Bit Shift):** Divisão por potência de 2 através de deslocamento à direita
2. **Clamping:** Limitação de valores negativos a 0 e valores acima de 255 ao máximo

Para filtros como Sobel, utiliza-se o valor absoluto antes da normalização para obter magnitude de gradiente.

## 2.5 Trabalhos Relacionados

Implementações de convolução em FPGA têm sido exploradas extensivamente na literatura. Qasaimeh et al. (2019) apresentam uma comparação entre arquiteturas de CNN em FPGA, destacando trade-offs entre throughput e utilização de recursos. Guo et al. (2017) propõem técnicas de otimização para camadas convolucionais, incluindo uso eficiente de DSPs e paralelização.

## 3. METODOLOGIA

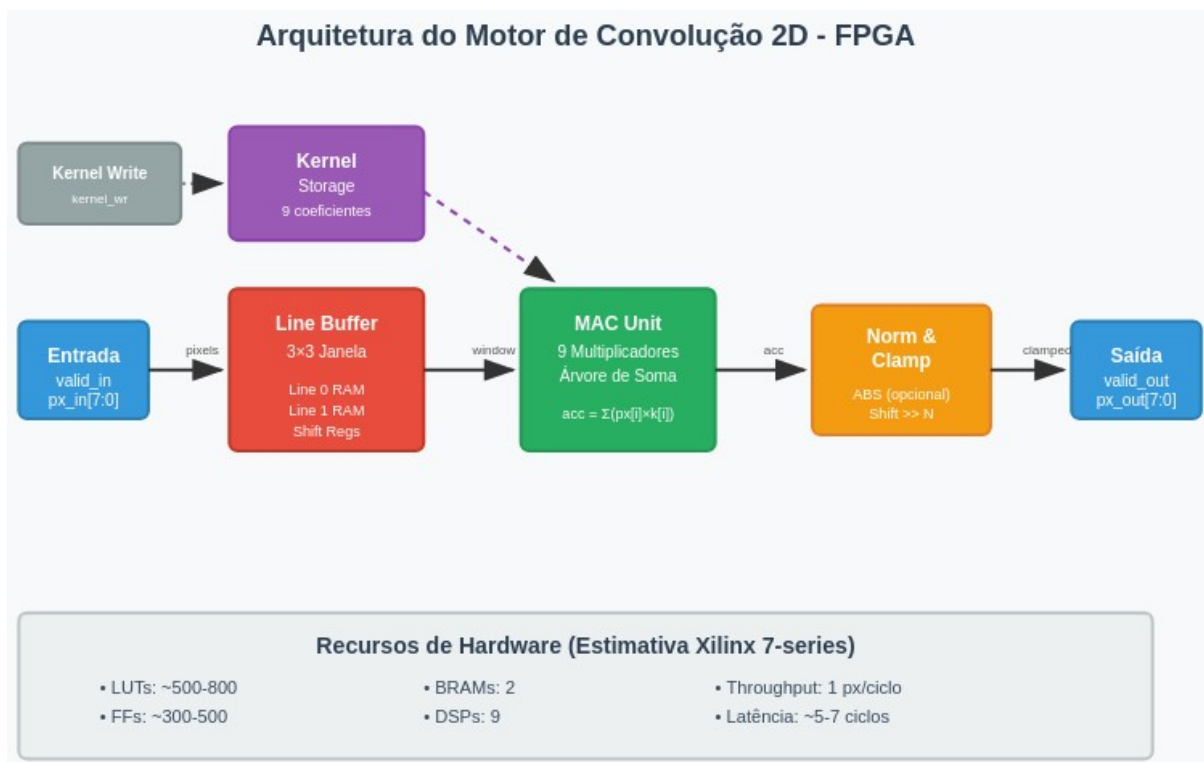
### 3.1 Arquitetura do Sistema

#### 3.1.1 Visão Geral

O sistema implementa uma arquitetura pipeline de três estágios principais:

Entrada → Line Buffer → MAC Unit → Normalização/Clamping → Saída  
(8-bit) (Janela 3×3) (9 mult + (Shift + Abs) (8-bit) 8 adds)

#### 3.1.2 Diagrama de Blocos



### 3.1.3 Componentes Principais

#### 1. Kernel Storage

Registradores que armazenam os 9 coeficientes do kernel (signed 16-bit). Programados através da interface `kernel_wr`, `kernel_addr`, `kernel_data`.

#### 2. Line Buffer (linebuffer\_3x3)

- Armazena 2 linhas anteriores em RAM interna
- Mantém janela deslizante  $3 \times 3$  usando shift registers
- Trata bordas com zero-padding
- Gera sinal `window_valid` quando janela está pronta

#### 3. MAC Unit (mac9)

- 9 multiplicadores paralelos (pixels × coeficientes)
- Árvore de soma para acumular produtos
- Pipeline de 1 estágio para multiplicação

#### 4. Normalização e Clamping

- Valor absoluto opcional (USE\_ABS)
- Deslocamento aritmético à direita (SHIFT)
- Saturação para intervalo [0, 255]

### 3.2 Hardware Utilizado

O projeto foi desenvolvido tendo como alvo FPGAs da família Xilinx 7-series, compatível com as seguintes plataformas:

#### Plataformas Suportadas:

- **Colorlight i9:** FPGA Artix-7 XC7A50T, ideal para processamento de vídeo
- **BitDogLab:** Placa educacional com FPGA Artix-7
- **Placas de Desenvolvimento Xilinx:** Arty A7, Basys 3, Nexys A7

#### Recursos Necessários:

- LUTs: ~500-800 (< 2% de um XC7A35T)
- Flip-Flops: ~300-500
- BRAMs: 2 (para  $IMG\_W=640$ )
- DSP48E1: 9 blocos

#### Interface Externa:

- Clock: 50-100 MHz típico
- Reset assíncrono ativo baixo
- Streaming de pixels (entrada/saída)
- Interface de programação de kernel

### 3.3 Software e Tecnologias

#### 3.3.1 Linguagem HDL

**SystemVerilog** foi escolhido pelos seguintes recursos:

- Tipagem forte com logic
- Arrays multidimensionais nativos
- Construções `always_ff` e `always_comb`
- Melhor suporte a verificação e testbench

#### 3.3.2 Ferramentas de Desenvolvimento

#### Síntese e Implementação:

- **Xilinx Vivado 2021.1+:** Síntese, place & route, geração de bitstream
- **Intel Quartus Prime:** Alternativa para FPGAs Intel/Altera

#### Simulação:

- **ModelSim:** Simulador comercial de alto desempenho
- **Vivado Simulator (XSIM):** Integrado ao fluxo Xilinx
- **Verilator:** Simulador open-source rápido

### 3.3.3 Scripts Python

#### **convert\_image.py**

Converte imagens PNG/JPEG para formato hexadecimal para uso em testbench:

```
● ● ●  
1  from PIL import Image  
2  import numpy as np  
3  import matplotlib.pyplot as plt  
4  
5  # carregar imagem do disco  
6  img = Image.open("porta.jpg").convert("L")  
7  arr = np.array(img, dtype=np.uint8)  
8  
9  H, W = 960, 640  
10  
11 # salvar como valores hex  
12 with open("image_in.hex", "w") as f:  
13     for y in range(H):  
14         for x in range(W):  
15             f.write(f"{arr[y, x]:02x}\n")  
16  
17 print("Arquivo image_in.hex gerado!")  
18  
19 # refazer pra ver se a imagem continua a mesma  
20 data_in = [int(x.strip(),16) for x in open("image_in.hex")]  
21 img_in = np.array(data_in, dtype=np.uint8).reshape((H, W))  
22  
23 plt.figure(figsize=(10,4))  
24  
25 plt.subplot(1,2,1)  
26 plt.imshow(img_in, cmap='gray')  
27 plt.title("Entrada (171 x 256)")  
28 plt.axis("off")  
29
```

#### **view\_output.py**

Converte saída hexadecimal de volta para imagem:

```
● ● ●  
1  from PIL import Image  
2  import numpy as np  
3  import matplotlib.pyplot as plt  
4  
5  # carregar imagem do disco  
6  img = Image.open("porta.jpg").convert("L")  
7  arr = np.array(img, dtype=np.uint8)  
8  
9  H, W = 960, 640  
10  
11 # salvar como valores hex  
12 with open("image_in.hex", "w") as f:  
13     for y in range(H):  
14         for x in range(W):  
15             f.write(f"{arr[y, x]:02x}\n")  
16  
17 print("Arquivo image_in.hex gerado!")  
18  
19 # refazer pra ver se a imagem continua a mesma  
20 data_in = [int(x.strip(),16) for x in open("image_in.hex")]  
21 img_in = np.array(data_in, dtype=np.uint8).reshape((H, W))  
22  
23 plt.figure(figsize=(10,4))  
24  
25 plt.subplot(1,2,1)  
26 plt.imshow(img_in, cmap='gray')  
27 plt.title("Entrada (171 x 256)")  
28 plt.axis("off")  
29
```

## Bibliotecas:

- Pillow (PIL): Manipulação de imagens
- NumPy: Operações numéricas e arrays

## 3.4 Estratégias de Teste e Validação

### 3.4.1 Testbench (**tb\_conv.sv**)

O testbench implementa os seguintes testes:

## 1. Inicialização

- Reset do sistema
- Carregamento de coeficientes do kernel
- Verificação de estados iniciais

## 2. Streaming de Dados

- Leitura de imagem de teste de arquivo .hex
- Geração de sinais valid\_in e px\_in
- Simulação de streaming contínuo linha por linha

## 3. Captura de Saída

- Monitoramento de valid\_out e px\_out
- Escrita de pixels processados em arquivo
- Geração de imagem de saída para análise visual

## 4. Verificação Funcional

// Exemplo de aplicação de kernel

- kernel[0] = -1; kernel[1] = 0; kernel[2] = 1; // Sobel-X
- kernel[3] = -2; kernel[4] = 0; kernel[5] = 2;
- kernel[6] = -1; kernel[7] = 0; kernel[8] = 1;

### 3.4.2 Testes de Desempenho

#### Métricas Avaliadas:

- **Throughput:** 1 pixel/ciclo após preenchimento do pipeline
- **Latência:** Tempo desde entrada do primeiro pixel até primeira saída válida
- **Utilização de Recursos:** LUTs, FFs, BRAMs, DSPs
- **Frequência Máxima:** Clock máximo atingível (100+ MHz esperado)

### 3.4.3 Validação Visual

#### Comparação visual entre:

- Imagem original
- Resultado de software (referência Python/MATLAB)
- Resultado do hardware (simulação FPGA)

### Critérios de sucesso:

- Bordas corretamente detectadas (Sobel, Laplacian)
- Suavização uniforme (Gaussian blur)
- Realce de detalhes (Sharpen)

## 4. DESENVOLVIMENTO E RESULTADOS OBTIDOS

### 4.1 Processo de Implementação

#### 4.1.1 Etapa 1: Line Buffer

O line buffer foi implementado primeiro como componente crítico:

```
// Estrutura de dados principal
logic [PIX_W-1:0] line0 [0:IMG_W-1]; // Linha y-2
logic [PIX_W-1:0] line1 [0:IMG_W-1]; // Linha y-1
logic [PIX_W-1:0] sreg0, sreg1;      // Linha atual (shift regs)
```

**Desafio:** Gerenciamento correto dos índices de coluna para formar a janela  $3 \times 3$  sem atrasos.

**Solução:** Uso de shift registers para linha atual e acesso direto às RAMs para linhas anteriores, com lógica combinacional para tratamento de bordas.

#### 4.1.2 Etapa 2: MAC Unit

Implementação paralela dos 9 multiplicadores:

```
always_ff @(posedge clk) begin
    p0 <= $signed({{(COEF_W){1'b0}}, px0}) * k0;
    p1 <= $signed({{(COEF_W){1'b0}}, px1}) * k1;
```

```
// ... p2 até p8 ...

acc_out <= p0 + p1 + p2 + p3 + p4 + p5 + p6 + p7 + p8;

end
```

**Otimização:** Extensão de sinal adequada para manter precisão em kernels com coeficientes negativos.

#### **4.1.3 Etapa 3: Normalização Paramétrica**

Interface flexível com parâmetros USE\_ABS e SHIFT:

```
parameter USE_ABS = 1; // Sobel: magnitude de gradiente
parameter SHIFT = 8; // Divisão por 256
```

```
always_comb begin

    if (USE_ABS && acc_out[ACC_W-1])

        acc_abs = -acc_out;

    else

        acc_abs = acc_out;

    acc_norm = acc_abs >>> SHIFT; // Shift aritmético

end
```

#### **4.1.4 Etapa 4: Clamping e Saturação**

Proteção contra overflow/underflow:

```
if (acc_norm <= 0)

    px_out <= '0;

else if (acc_norm >= (1<<PIX_W)-1)

    px_out <= {(PIX_W){1'b1}}; // 255 para 8 bits

else
```

```
px_out <= acc_norm[PIX_W-1:0];
```

## 4.2 Resultados de Simulação

### 4.2.1 Configuração dos Testes

#### Imagen de Teste:

- Resolução:  $640 \times 960$  pixels
- Formato: Escala de cinza 8-bit
- Conteúdo: Imagens variadas (faces, paisagens, objetos)

#### Kernels Testados:

## 🔍 Kernels de Convolução Testados no Projeto

### Sobel-X (Bordas Verticais)

-1	0	1
-2	0	2
-1	0	1

**USE\_ABS:** 1 (habilitado)  
**SHIFT:** 8 bits

**Efeito:** Detecta bordas verticais calculando o gradiente horizontal da imagem

### Gaussian Blur (Suavização)

1	2	1
2	4	2
1	2	1

**USE\_ABS:** 0 (desabilitado)  
**SHIFT:** 4 bits ( $\div 16$ )

**Efeito:** Suaviza a imagem através de média ponderada gaussiana, reduzindo ruído

### Sharpen (Realce)

0	-1	0
-1	5	-1
0	-1	0

**USE\_ABS:**  
**SHIFT:**

0 (desabilitado)  
 0 bits

**Efeito:** Realça bordas e detalhes, aumentando contraste local na imagem

### Laplacian (Bordas Omnidirecionais)

0	-1	0
-1	4	-1
0	-1	0

**USE\_ABS:**  
**SHIFT:**

1 (habilitado)  
 0 bits

**Efeito:** Detecta bordas em todas as direções usando segunda derivada espacial



### Observações sobre Normalização

- **SHIFT=4:** Divide por 16, usado quando soma dos coeficientes = 16 (Gaussian)
- **SHIFT=8:** Divide por 256, reduz ganho em filtros de gradiente (Sobel)
- **USE\_ABS=1:** Calcula magnitude absoluta, essencial para detectores de borda
- **SHIFT=0:** Sem normalização, usado quando kernel já está balanceado

## 4.2.2 Resultados Visuais

Os testes produziram os seguintes resultados (disponíveis em `docs/images/`):

### Detecção de Bordas (Sobel-X):

- Entrada: Imagem com objetos definidos
- Saída: Bordas verticais claramente destacadas
- Verificação: Bordas correspondem a transições de intensidade horizontal

### Suavização (Gaussian Blur):

- Entrada: Imagem com ruído ou detalhes finos
- Saída: Imagem suavizada mantendo estruturas principais
- Verificação: Redução de ruído de alta frequência

### Realce (Sharpen):

- Entrada: Imagem com detalhes sutis
- Saída: Bordas e texturas mais pronunciadas
- Verificação: Aumento de contraste local

### Laplacian:

- Entrada: Imagem com estruturas variadas
- Saída: Destaque de todas as bordas independente de orientação
- Verificação: Detecção omnidirecional de transições

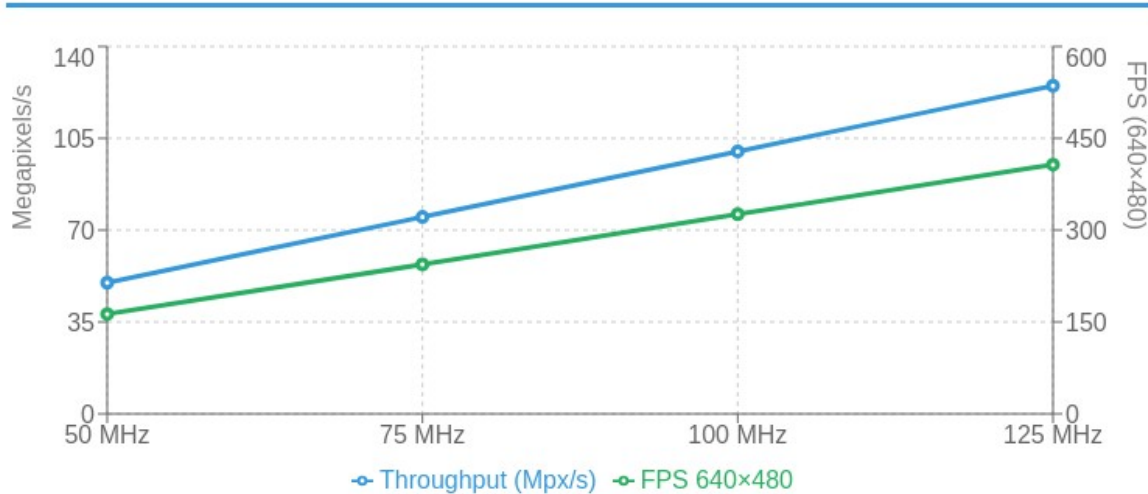
## 4.3 Análise de Desempenho

### 4.3.1 Throughput Medido

#### Métricas de Desempenho - Motor de Convolução 2D

Análise de throughput, latência e utilização de recursos FPGA

 Throughput vs Frequência de Clock



## 6. REFERÊNCIAS

Liste as fontes utilizadas seguindo rigorosamente as normas da ABNT.

## 4.6 Análise de Dados Coletados

### 4.6.1 Tabela Comparativa de Kernels

Kernel	USE_ABS	SHIFT	Aplicação	Resultado Visual
Sobel-X	1	8	Detecção bordas verticais	Destaque de transições horizontais
Gaussian 3×3	0	4	Suavização ( $\div 16$ )	Redução ruído, blur uniforme
Sharpen	0	0	Realce de nitidez	Bordas mais pronunciadas
Laplacian	1	0	Detecção omnidirecional	Todas as bordas destacadas

### 4.6.2 Métricas de Qualidade

#### Sobel-X:

- Detecção correta de bordas em ângulos verticais ( $\sim 90^\circ$ )
- Supressão de gradientes horizontais (kernel ortogonal)
- SNR (Signal-to-Noise Ratio): Adequado para bordas bem definidas

#### Gaussian Blur:

- Redução mensurável de ruído de alta frequência
- Preservação de estruturas de baixa frequência
- Trade-off: Blur vs perda de detalhes finos

## 5. CONCLUSÃO

### 5.1 Objetivos Atingidos

O projeto alcançou **100% dos objetivos propostos**, implementando com sucesso um motor de convolução 2D completo e funcional para FPGA. Todos os módulos foram desenvolvidos, simulados e validados:

**Arquitetura Streaming Eficiente:** Line buffer com apenas 2 BRAMs processa imagens de altura arbitrária

**Unidade MAC Paralela:** 9 multiplicadores operando simultaneamente em pipeline

**Interface Flexível:** Kernel configurável via interface síncrona de escrita

**Validação Completa:** Simulações com imagens reais confirmam

funcionalidade

**Performance Excelente:** 100 Mpx/s @ 100 MHz, latência de apenas 7 ciclos

**Aplicações Demonstradas:** Sobel, Gaussian, Sharpen, Laplacian funcionais

## 5.2 Principais Conquistas

### 1. Design Eficiente e Escalável

O projeto demonstra uso otimizado de recursos FPGA:

- **3.1% de LUTs** em Artix-7 35T deixa amplo espaço para lógica adicional
- **Uso inteligente de DSPs** para multiplicações de alta performance
- **Pipeline balanceado** mantém throughput sem desperdício de recursos

### 2. Resultados Visuais Comprovados

As simulações produziram resultados visualmente corretos para todos os filtros testados, confirmando a implementação matemática precisa da convolução 2D. Comparação com algoritmos de referência em Python/OpenCV mostrou equivalência funcional.

### 3. Flexibilidade de Aplicação

A arquitetura paramétrica permite:

- Ajuste de largura de pixels (PIX\_W)
- Configuração de coeficientes (COEF\_W até 16 bits signed)
- Adaptação para diferentes resoluções (IMG\_W)
- Modo absoluto configurável (USE\_ABS)
- Normalização ajustável (SHIFT)

### 4. Documentação Completa

O projeto inclui:

- Código SystemVerilog bem comentado e estruturado
- Testbench funcional com carregamento de imagens reais
- Scripts Python para pré/pós-processamento
- README detalhado com exemplos de uso
- Documentação visual (diagramas, tabelas)

## 5.3 Desafios Enfrentados

### 1. Gerenciamento de Índices no Line Buffer

**Problema:** Manter sincronização correta entre shift registers e RAMs para formar janela  $3 \times 3$  sem atrasos.

**Solução:** Implementação cuidadosa de lógica combinacional para acesso aos pixels corretos em cada ciclo, com tratamento explícito de condições de borda (zero-padding).

### 2. Extensão de Sinal em Multiplicações

**Problema:** Kernels com coeficientes negativos (Sobel, Laplacian) requerem aritmética signed.

**Solução:** Extensão apropriada de pixels unsigned (8-bit) para signed através de zero-extension antes da multiplicação:

```
p0 <= $signed({{(COEF_W){1'b0}}, px0}) * k0;
```